

ОБРАЗОВАНИЕ ПЕРИОДИЧЕСКИХ СТРУКТУР С МОДУЛИРОВАННЫМ СОСТАВОМ ПРИ КОГЕРЕНТНОМ РАЗДЕЛЕНИИ ФАЗ В ЧЕТВЕРНЫХ ТВЕРДЫХ РАСТВОРАХ ПОЛУПРОВОДНИКОВ $A^{III}B^V$

И. П. Ипатова, В. Г. Малышкин, А. Ю. Маслов, В. А. Щукин

Физико-технический институт им. А. Ф. Иоффе Российской академии наук,
194021, Санкт-Петербург, Россия
(Получена 16.07.1992. Принята к печати 20.07.1992)

Построена теория неустойчивости четверных твердых растворов $A_{1-x}B_xC_{1-y}D_y$ -типа полупроводников $A^{III}B^V$ по отношению к когерентному разделению фаз. Показано, что четверные твердые растворы полупроводников $A^{III}B^V$ становятся неустойчивыми относительно когерентного разделения фаз при $T = 400\text{--}1200$ К. Установлено, что в результате разделения фаз возникает система слоистых доменов с чередующимся составом твердого раствора (или, другими словами, естественная напряженная слоистая сверхрешетка с макроскопическим периодом). Вблизи критической температуры диаграмма когерентного разделения фаз четверных твердых растворов и периоды естественных сверхрешеток получены в аналитическом виде. При произвольных температурах и составах твердого раствора диаграммы когерентного разделения фаз и периоды сверхрешеток рассчитаны численно на основе приближения регулярных растворов для четверных твердых растворов CaInAsP и CaAlAsSb .

Введение. Наблюдавшиеся в ряде экспериментальных работ [1–10] области несмешиваемости в твердой фазе тройных и четверных растворов полупроводников $A^{III}B^V$ указывают на неустойчивость однородных твердых растворов в некотором интервале температур и составов.

Эта неустойчивость объясняется спинодальным распадом твердых растворов. Она изучалась теоретически в работах де Крему [11], Стрингфелло [12] и Онабэ [13]. Развитую Каном [14] теорию спинодального распада они обобщили на четверные твердые растворы $A_{1-x}B_xC_{1-y}D_y$ -типа. Рассчитанные критические температуры спинодального распада T_c оказались очень высокими, $T_c \approx 1500$ К. Согласно этим расчетам, исследуемые твердые растворы должны быть неустойчивыми при $T < T_c$, что не соответствовало экспериментальным данным. Чтобы уменьшить это расхождение, Стрингфелло [15, 16] учел упругую энергию, возникающую из требования когерентного сопряжения фаз. В результате оказалось, что большинство четверных твердых растворов должны быть устойчивы при всех температурах до 0 К.

В работах Ипатовой и др. [17, 18] было показано, что использование модели регулярных твердых растворов Илегемса, Паниша и Джордана [19, 20] вместо DLP-модели Стрингфелло [21, 22] позволяет получить критические температуры спинодального распада четверных твердых растворов в интервале $400\text{--}1200$ К, что соответствует температурам эпитаксиального роста этих материалов.

В последние годы в ряде работ [5–10] методами трансмиссионной электронной микроскопии и дифракции рентгеновских лучей в твердых растворах наблюдались структуры с модуляцией состава с макроскопическими периодами ($100\text{--}1000$ Å). В настоящей работе показано, что распад неустойчивых твердых растворов приводит к возникновению абсолютно устойчивых слоистых структур, состоящих

двои доменов с чередующимся составом твердого раствора. Слои перпендикулярны направлению наилегчайшего сжатия [001].

При температурах T и составах (x, y) вблизи критической точки $(T_c; x_c, y_c)$ использовалось разложение полной свободной энергии твердого раствора по степеням $(x - x_c)$, $(y - y_c)$, которое позволяет получить точное решение в аналитической форме для спиноподобной кривой, кривой растворимости и макроскопических периодов доменной структуры. Для исследования устойчивости четверных твердых растворов по отношению к распаду на доменную структуру при произвольных температурах и составах была использована удельная химическая свободная энергия твердого раствора $f_{\text{хим}}$ в приближении регулярных твердых растворов, предложенном Илегемсом, Панишом и Джорданом [19, 20]. Модель регулярных твердых растворов существенно отличается от модели DLP, предложенной Стрингфелло [21, 22]. Модель DLP была использована в работах [15, 16] для анализа устойчивости твердых растворов. В отличие от DLP-модели, где $f_{\text{хим}}$ зависит от состава (x, y) только за счет зависимости постоянной решетки « a » от (x, y) : $f_{\text{хим}}^{\text{DLP}}(x, y) = f(a(x, y))$, в модели регулярных твердых растворов $f_{\text{хим}}$ зависит от 8 независимых экспериментальных параметров и связана с постоянной решетки « a » только неявным образом. Эти параметры брались из независимых экспериментов для тройных твердых растворов. Никаких дополнительных параметров для четверных твердых растворов теория не содержит. В модели регулярных твердых растворов получена неустойчивость четверных твердых растворов полупроводников $A^{\text{III}}B^{\text{V}}$ по отношению к распаду на систему упругих концентрационных доменов при температурах 400—1200 К. Рассчитаны диаграммы когерентного разделения фаз для твердых растворов CaInAsP и CaAlAsSb . Периоды равновесных слоистых структур рассчитаны на основе теории упругих концентрационных доменов Хачатуряна [23].

Рассчитанные доменные структуры представляют собой напряженные слоистые сверхрешетки с макроскопической периодичностью. Информация о составе твердого раствора и толщине слоев может быть использована для оптимизации режимов эпитаксиального роста с целью получения сверхрешеток, менее подверженных процессам дегградации.

1. Спиноподобный распад вблизи критической температуры

В работе изучаются области неустойчивости на фазовой диаграмме $(T; x, y)$ четверных твердых растворов $A_{1-x}B_xC_{1-y}D_y$ -типа. Де Крему [11], Стрингфелло [12] и Онабэ [13] рассмотрели распад однородного твердого раствора на две однородные фазы с различным составом твердого раствора. Мы анализируем здесь другую возможность распада однородного твердого раствора, а именно распад на неоднородную систему напряженных слоев с чередующимся составом твердого раствора, которая может обеспечить минимум полной свободной энергии.

Для исследования устойчивости однородного твердого раствора мы сравним свободную энергию первоначально однородного твердого раствора с составом (\bar{x}, \bar{y}) ,

$$F^{(1)} = Nf(\bar{x}, \bar{y}), \quad (1)$$

(где N — число элементарных ячеек, а $f(x, y)$ — удельная свободная энергия) и свободную энергию двухфазной системы с составами (x_1, y_1) и (x_2, y_2) . Две фазы с различным составом твердого раствора имеют различные постоянные решетки $a(x_1, y_1) \neq a(x_2, y_2)$. Это рассогласование решеток является источником упругих деформаций в системе. Поэтому двухфазная система обладает, в дополнение к химической свободной энергии, также и упругой свободной энергией. Поскольку твердые растворы полупроводников $A^{\text{III}}B^{\text{V}}$ состоят из чистых бинарных

соединений близкой химической природы, то изменение свободной энергии твердого раствора с составом меньше, чем сама $F_{\text{хим}}$. Это изменение имеет тот же порядок величины, что и упругая энергия. Таким образом, $F_{\text{хим}}^{(2)}$ и $F_{\text{упр}}^{(2)}$ следует рассматривать совместно. Полная свободная энергия двухфазной системы равна

$$F^{(2)} = F_{\text{хим}}^{(2)} + F_{\text{упр}}^{(2)}. \quad (2)$$

Спинодальной неустойчивостью называют неустойчивость однородного твердого раствора по отношению к бесконечно малым флуктуациям состава. Флуктуации состава удобно представить в виде суперпозиции статических концентрационных волн с различными k :

$$\begin{aligned} \delta x(\mathbf{r}) &= \sum_{\mathbf{k} \neq 0} \overline{\delta x}(\mathbf{k}) e^{i\mathbf{k}\mathbf{r}}, \\ \delta y(\mathbf{r}) &= \sum_{\mathbf{k} \neq 0} \overline{\delta y}(\mathbf{k}) e^{i\mathbf{k}\mathbf{r}}. \end{aligned} \quad (3)$$

Для исследования спинодальной неустойчивости достаточно разложить двухфазную свободную энергию $F^{(2)}$ до квадратичных членов по переменным $\overline{\delta x}(\mathbf{k})$, $\overline{\delta y}(\mathbf{k})$. Спинодальный распад определяется «мягкой модой» $F^{(2)}$, исследованной Каном [24] для случая бинарных сплавов. Упругая свободная энергия даже в кубическом кристалле является анизотропной величиной. Поэтому и полная свободная энергия оказывается функцией направления k . В [24] было показано, что упругая свободная энергия минимальна для флуктуаций с волновыми векторами k , параллельными направлению наилегчайшего сжатия. Последнее определяется параметром упругой анизотропии

$$\xi = \frac{c_{11} - c_{12} - 2c_{44}}{c_{44}} < 0, \quad (4)$$

который отрицателен для всех твердых растворов $A^{\text{III}}B^{\text{V}}$, причем направление [001] является направлением наилегчайшего сжатия. Минимальная упругая энергия соответствует неоднородному твердому раствору с бесконечно малой одномерной модуляцией состава в направлении [001]. Как показано Хачатуряном [23], в случае двухфазной системы с конечной модуляцией состава минимум свободной энергии соответствует системе с модуляцией в направлении [001]. Оказывается возможным выразить свободную энергию такой двухфазной системы $F^{(2)}$ в аддитивной форме:

$$F^{(2)} = N_1 f(x_1, y_1) + N_2 f(x_2, y_2) \quad (5)$$

(где N_1, N_2 — числа элементарных ячеек в первой и второй фазах соответственно). Явное выражение для удельной свободной энергии f было получено Хачатуряном для бинарных сплавов (см. [23]). Обобщение на случай четверного твердого раствора дает удельную свободную энергию в виде

$$f(x, y) = f_{\text{хим}}(x, y) + f_{\text{упр}}(x, y), \quad (6)$$

где упругая свободная энергия четверного твердого раствора равна

$$\begin{aligned} f_{\text{упр}}(x, y) &= \frac{(c_{11} - c_{12})(c_{11} + 2c_{12})}{c_{11}a^2} \left(\left(\frac{\partial a(x, y)}{\partial x} \right) x + \left(\frac{\partial a(x, y)}{\partial y} \right) y \right)^2 + \\ &+ \text{линейные члены по } x \text{ и } y. \end{aligned} \quad (7)$$

Линейные по x и y слагаемые в явном виде, поскольку они не влияют на критерии устойчивости. Чтобы получить критерии устойчивости однородного твердого раствора по отношению к бесконечно малым флуктуациям состава, подставим полную удельную свободную энергию $f(x, y)$ в критерии де Крему [11]. Эти критерии выражаются через элементы матрицы $\hat{\Lambda}$, составленной из вторых частных производных удельной свободной энергии по составу твердого раствора:

$$\frac{\partial^2 f(x, y, T)}{\partial x^2} > 0, \quad (8a)$$

$$\det \hat{\Lambda} \equiv \left(\frac{\partial^2 f(x, y, T)}{\partial x^2} \right) \left(\frac{\partial^2 f(x, y, T)}{\partial y^2} \right) - \left(\frac{\partial^2 f(x, y, T)}{\partial x \partial y} \right)^2 > 0. \quad (8b)$$

При достаточно высоких температурах эксперименты [1-10] показывают, что твердые растворы устойчивы, т. е. неравенства (8) выполняются. Анализ диаграмм «ликвидус-солидус» для тройных твердых растворов полупроводников $A^{III}B^V$, выполненный Илегемсом, Панишом и Джорданом [19, 20], показывает, что образованию тройных твердых растворов соответствует положительная энтальпия образования: $\Delta H(A_{1-x}B_xC) = H(A_{1-x}B_xC) - (1-x)H(AC) - xH(BC) > 0$. В результате этого при достаточно низких температурах удельная химическая свободная энергия тройных твердых растворов $A_{1-x}B_xC$ как функция состава x имеет максимум, что приводит к распаду твердого раствора. Положительная энтальпия образования тройных твердых растворов способствует распаду и четверных твердых растворов при понижении температуры. Соответственно при понижении температуры определитель (8b) убывает за счет температурной зависимости $f_{\text{хим}}$. При высоких температурах оба критерия (8) выполняются, и гиперповерхность $f(x, y)$ является вогнутой. При некоторой температуре T_c и некотором составе (x_c, y_c) определитель (8b) для четверного твердого раствора может обратиться в нуль. Тогда при температурах $T < T_c$ гиперповерхность $f(x, y)$ имеет седловую точку, в окрестности которой четверные твердые растворы неустойчивы.

В окрестности седловой точки можно вместо составов x, y ввести переменные ζ и η вдоль главных осей матрицы $\hat{\Lambda}$. Именно переход к главным осям позволяет получить решение в аналитической форме. Мы выбираем направление скорейшего спуска в качестве направления ζ . Это означает, что собственное число матрицы $\hat{\Lambda}$, соответствующее переменной ζ , обращается в нуль при $T = T_c$ и отрицательно при $T < T_c$. Второе собственное число, соответствующее переменной η , положительно при всех составах. Такая ситуация отвечает переходу системы в двухфазное состояние.

В окрестности критической точки $(T_c; x_c, y_c)$ можно построить точное аналитическое описание спинодального распада с помощью разложения удельной свободной энергии $f(\bar{x}, \bar{y})$ по степеням ζ и η до стабилизирующих членов четвертого порядка. Разложение имеет вид:

$$f(\zeta, \eta, T) = f(0, 0, T) + \alpha_1 \zeta + \alpha_2 \eta + \beta_0 (T_c - T) \zeta^2 - \beta_1 (T_c - T) \zeta \eta + B_2 \eta^2 + C_3 \zeta^3 + C_1 \zeta^2 \eta + C_2 \zeta \eta^2 + C_3 \eta^3 + D_0 \zeta^4 + D_1 \zeta \eta^3 + D_2 \zeta^2 \eta^2 + D_3 \zeta^3 \eta + D_4 \eta^4 + \dots \quad (9)$$

При температурах $T > T_c$ четверные твердые растворы устойчивы при любых составах (ζ, η) . Из условий устойчивости (8a) следует, что

$$C_0 = C_1 = 0, \quad (10)$$

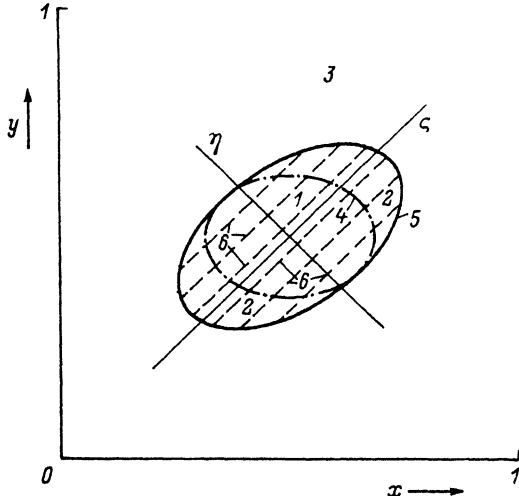


Рис. 1. Диаграмма когерентного разделения фаз вблизи критической температуры. 1 — область абсолютно неустойчивых твердых растворов; 2 — область метастабильных твердых растворов; 3 — область абсолютно устойчивых твердых растворов; 4 — спинодальная кривая; 5 — кривая растворимости; 6 — связывающие линии.

$$D_0 > 0. \quad (11)$$

Из неравенства (8б) следует третье условие, накладываемое на коэффициенты разложения:

$$\tilde{D} \equiv D_2 - \frac{C_2^2}{B_0} - \frac{3D_1^2}{8D_0} > 0. \quad (12)$$

При температурах $T < T_c$ возникает область составов твердого раствора, где условия устойчивости (8) не выполняются, и однородный твердый раствор неустойчив. Граница области составов, в которой твердые растворы неустойчивы относительно бесконечно малых флуктуаций состава (эта граница называется спинодальной кривой), определяется уравнением

$$\det \hat{\Lambda} = 0. \quad (13)$$

Подставляя $f(\xi, \eta)$ из (9) в (13), можно сразу получить уравнение для спинодальной кривой:

$$3 \left(\xi + \frac{D_1}{4D_0} \eta \right)^2 + \frac{\tilde{D}}{2D_0} \eta^2 = \frac{\beta_0 (T_c - T)}{2D_0 T_c}. \quad (14)$$

Спинодальная кривая в окрестности T_c представляет собой эллипс. Она изображена на рис. 1 штрихпунктирной линией. Главные оси эллипса совпадают с главными осями (ξ, η) матрицы $\hat{\Lambda}$ вторых производных удельной свободной энергии по составу.

Равновесное двухфазное состояние удовлетворяет условию минимума свободной энергии двухфазной системы $F^{(2)}$ из (5), причем удельная свободная энергия приведена в уравнении (6). Равновесные составы двухфазной системы определяются этим условием. Свободная энергия $F^{(2)}$, выраженная через ξ и η , является функцией шести переменных: числа элементарных ячеек N_1 и N_2 и составов

твердого раствора (ξ_1, η_1) и (ξ_2, η_2) в каждой фазе. Поскольку в процессе разделения фаз число атомов каждого сорта сохраняется, минимум свободной энергии следует искать при дополнительных условиях сохранения числа катионов и анионов, которое в переменных (ξ, η) записывается в виде:

$$N_1 \xi_1 + N_2 \xi_2 = N \bar{\xi}, \quad (15a)$$

$$N_1 \eta_1 + N_2 \eta_2 = N \bar{\eta}, \quad (15b)$$

где

$$N_1 + N_2 = N. \quad (15в)$$

Минимизация свободной энергии по отношению к остающимся трем независимым переменным дает три независимых уравнения, полученные Стрингфелло [12], который решил их численно. В окрестности критической точки разложение (9) позволяет получить решение в аналитическом виде. Два из этих трех уравнений соответствуют равенству химических потенциалов катионов (и/или анионов) в двух фазах и в переменных (ξ, η) имеют вид:

$$\left. \frac{\partial f}{\partial \xi} \right|_{(\xi_1, \eta_1)} = \left. \frac{\partial f}{\partial \xi} \right|_{(\xi_2, \eta_2)} = \mu_{\xi}. \quad (16a)$$

$$\left. \frac{\partial f}{\partial \eta} \right|_{(\xi_1, \eta_1)} = \left. \frac{\partial f}{\partial \eta} \right|_{(\xi_2, \eta_2)} = \mu_{\eta}. \quad (16b)$$

Третье соотношение свидетельствует о наличии общей касательной прямой к гиперповерхности $f(\xi, \eta)$ в точках (ξ_1, η_1) и (ξ_2, η_2) :

$$f(\xi_2, \eta_2) - f(\xi_1, \eta_1) = \mu_{\xi}(\xi_2 - \xi_1) + \mu_{\eta}(\eta_2 - \eta_1). \quad (17)$$

Решение уравнений равновесия (16), (17) с удельной свободной энергией из (9) дает равновесные составы двух фаз (ξ_1, η_1) , (ξ_2, η_2) . Составы ξ_1, ξ_2 , соответствующие направлению скорейшего спуска на гиперповерхности свободной энергии $f(x, y)$ из (9), суть корни следующего уравнения:

$$\left(\xi + \frac{D_1}{4D_0} \bar{\eta} \right)^2 + \frac{\bar{D}}{2D_0} \bar{\eta}^2 = \frac{\beta_0 (T_c - T)}{2D_0 T_c}. \quad (18)$$

Составы η_1, η_2 оказываются равны составу $\bar{\eta}$ первоначально однородного твердого раствора,

$$\eta_1 = \eta_2 = \bar{\eta}. \quad (19)$$

Кривая, описываемая уравнением (18), представляет собой эллипс, изображенный на рис. 1 сплошной линией. Этот эллипс имеет те же главные оси (ξ, η) , что и спиновальная кривая, и расположен снаружи от спиновальной кривой за счет множителя «3» в (14). Два эллипса имеют две общие точки касания: $(-(D_1/4D_0)\eta_0; \eta_0)$ и $((D_1/4D_0)\eta_0; -\eta_0)$ (здесь $\eta_0 = (\beta(T_c - T)/D_0 T_c)^{1/2}$ — короткая полуось эллипсов).

Условия сохранения числа атомов (15) приводят к тому, что точка $(\bar{\xi}, \bar{\eta})$, соответствующая составу первоначально однородного твердого раствора, является «центром тяжести» двух точек (ξ_1, η_1) и (ξ_2, η_2) . Из этого утверждения имеются два следствия. Во-первых, если составы двух равновесных фаз известны, то

возможные значения состава состава первоначально однородного твердого раствора образуют отрезок прямой, соединяющий (ζ_1, η_1) и (ζ_2, η_2) . Некоторые из этих отрезков, называемых связывающими линиями (tie lines), изображены на рис. 1 пунктирными линиями. Связывающая линия представляет собой проекцию на плоскость (ζ, η) общей касательной к гиперповерхности $f(\zeta, \eta)$ в точках (ζ_1, η_1) и (ζ_2, η_2) . Из (19) следует, что связывающие линии при температурах, близких к T_c , параллельны главной оси ζ эллипсов (14) и (18), соответствующей направлению «скорейшего спуска» на гиперповерхности $f(x, y)$ из (9).

Во-вторых, распад однородного твердого раствора невозможен, если соответствующая его составу точка (ζ, η) расположена вне эллипса (18). Эти твердые растворы являются абсолютно устойчивыми. Область абсолютно устойчивых твердых растворов обозначена как область 3 на рис. 1.

Область 2 между двумя эллипсами соответствует метастабильным твердым растворам. Кривая (18), разделяющая области абсолютно устойчивых и метастабильных твердых растворов, представляет собой кривую растворимости.

2. Равновесная структура двухфазных систем вблизи критической температуры

Когерентное разделение фаз в бинарных металлических сплавах было рассмотрено Хачатуряном [23] на основе теории упругости. В настоящем разделе выполнено аналогичное рассмотрение для четверных полупроводниковых твердых растворов.

Рассматривается когерентное разделение фаз, происходящее в некотором объеме V внутри однородной матрицы. Для описания комплекса, занимающего объем V , удобно ввести функцию формы $\vartheta(r)$. Функция $\vartheta(r)$ определена таким образом, что $\vartheta(r) = 1$ внутри объема V , и $\vartheta(r) = 0$ снаружи. Две фазы внутри комплекса описываются аналогичным образом с помощью функций формы каждой фазы $\vartheta_i(r)$ ($i = 1, 2$). Эти функции удовлетворяют соотношению

$$\vartheta_1(r) + \vartheta_2(r) = \vartheta(r), \quad (20)$$

которое означает, что внутри комплекса имеется только две фазы.

Две фазы с различным составом твердого раствора имеют различные постоянные решетки. Для когерентного сопряжения этих двух фаз необходимы упругие деформации. Свободная энергия представляет собой сумму $F^{(2)}$ из (5) и свободной энергии границы раздела $F_{\text{пов}}$. Как $F^{(2)}$, так и $F_{\text{пов}}$ зависят от формы каждой фазы, т. е. эти две энергии являются функционалами от $\vartheta_i(r)$. Хачатурян показал, что свободная энергия двухфазной системы минимальна для системы тонких пластин бесконечной протяженности, причем пластины с чередующимся составом твердого раствора должны располагаться перпендикулярно направлению наилегчайшего сжатия (направлению [001] для твердых растворов полупроводников $A^{\text{III}}B^{\text{V}}$). Фурье-образ $\vartheta_j(k)$ функции j -пластины, имеющей бесконечную протяженность, пропорционален $\delta(k_x) \delta(k_y)$ и не обращается в нуль только для $k_x = k_y = 0$, т. е. для волновых векторов k , параллельных направлению z , (кристаллографическому направлению [001]). Поскольку в действительности комплекс имеет конечные размеры L , пластины также имеют конечную протяженность L . Полный объем комплекса V фиксирован, и, следовательно, каждая j -я пластина имеет малую конечную толщину d_j . Поэтому фурье-образ $\vartheta_j(k)$ функции формы не обращается в нуль также и для волновых векторов k , которые несколько отклоняются от направления [001]. Это приводит к дополнительному вкладу в упругую свободную энергию $\Delta F_{\text{уп}}$, который мал по сравнению с $F_{\text{уп}}$ из (2) по параметру $d/L \ll 1$. Упругие деформации внутри j -го слоя в комплексе

оказываются однородными везде за исключением узкой области с толщиной $\sim d_j$ вблизи краев слоя. Деформации вблизи краев неоднородны. Комплекс состоит, таким образом, из чередующихся растянутых и сжатых слоев, различающихся по составу твердого раствора. Упругие напряжения в окружающей комплекс матрице оказываются скомпенсированными везде, кроме узкой области толщиной $\sim d_j$ вблизи поверхности комплекса. Минимум свободной энергии, соответствующий наилучшей компенсации упругих напряжений в матрице, достигается, когда слои с различным составом твердого раствора образуют периодическую структуру (см. [25], [23a], Приложение 4, [236], § 10.3). Было установлено, что минимальный период соответствует одному слою первой фазы и одному слою второй фазы.

Качественная оценка периода d для комплекса с горизонтальными размерами $L_x = L_y \equiv L_\perp$ и вертикальным размером L_z определяется двумя малыми вкладками в свободную энергию $F^{(2)}$, которые не были учтены в (2) и которые зависят от d . Первый вклад представляет собой неоднородную часть упругой свободной энергии, обусловленный проникновением упругих напряжений в примыкающую к комплексу область матрицы, причем глубина проникновения имеет порядок d . Эта энергия по порядку величины равна

$$\Delta F_{\text{упр}} = \tilde{c} \left(\frac{\Delta a}{a} \right)^2 4L_\perp L_z d, \quad (21)$$

где \tilde{c} — характерный упругий модуль, а $4L_\perp L_z d$ — полный объем приповерхностной области матрицы, в которую проникают упругие напряжения. Второй вклад обусловлен поверхностным натяжением на межфазных границах между соседними слоями. Он равен

$$F_{\text{пов}} = \gamma L_\perp^2 \frac{2L_z}{d}, \quad (22)$$

где γ — коэффициент поверхностного натяжения, L_\perp^2 — площадь межфазной границы, $2L_z/d$ — число межфазных границ. Поскольку энергия $\Delta F_{\text{упр}}$ растет с ростом d , а $F_{\text{пов}}$ уменьшается с d , имеется оптимальная величина периода $d_{\text{опт}}$,

$$d_{\text{опт}} = \sqrt{\frac{\gamma L_\perp}{2\tilde{c} \left(\frac{\Delta a}{a} \right)^2}}, \quad (23)$$

которая обеспечивает минимум свободной энергии $\Delta F_{\text{упр}} + F_{\text{пов}}$. Точное значение $d_{\text{опт}}$, найденное в [23] (см. [23], с. 273, формула (30.4), [236], с. 332, формула (10.3.34)), равно

$$d_{\text{опт}} = \sqrt{\frac{4\pi^3 \gamma L_\perp}{(c_{11} - c_{12}) \left(\frac{\Delta a}{a} \right)^2 |\xi| \alpha(\nu) \left(\frac{c_{11} + 2c_{12}}{c_{11}} \right)^2}}. \quad (24)$$

Здесь $\nu = N_1/N$ — доля вещества в первой фазе, $\alpha(\nu) = \alpha(1 - \nu)$ — численная функция, рассчитанная в [236], с. 332.

Формально оптимальный период $d_{\text{опт}}$ для четверных твердых растворов определяется формулой (24), полученной Хачатуряном. Однако рассогласование решеток двух фаз $\Delta a/a \equiv (a_2 - a_1)/\bar{a}$ и коэффициент поверхностного натяжения γ , входящие в (24), зависят от равновесных составов (x_1, y_1) и (x_2, y_2) четверного

твердого раствора в двух фазах. Зависимость рассогласования решеток двух фаз от составов описывается правилом Вегарда

$$\frac{\Delta a}{a} = \frac{1}{a} \left(\left(\frac{\partial a(x, y)}{\partial x} \right) (x_2 - x_1) + \left(\frac{\partial a(x, y)}{\partial y} \right) (y_2 - y_1) \right), \quad (25)$$

которое выполняется для твердых растворов полупроводников $A^{III}B^V$ с хорошей точностью.

Зависимость коэффициента поверхностного натяжения γ от составов получена на основе теории доменной стенки [26]. Для рассмотрения энергии доменной стенки в случае четверных твердых растворов нужно включить обусловленные неоднородностью состава вклады $\frac{1}{2} \kappa_0 (\nabla \zeta)^2 + \kappa_1 (\nabla \zeta) (\nabla \eta) + \frac{1}{2} \kappa_2 (\nabla \eta)^2$ в удельную свободную энергию твердого раствора (9). Здесь ζ и η соответствуют главным осям матрицы $\hat{\Lambda}$ из (8). При этом существенной оказывается только неоднородность величины ζ , соответствующей направлению скорейшего спуска на гиперповерхности $f(x, y)$ из (9). В окрестности критической точки величина γ равна: $\gamma = \frac{\sqrt{2}}{12} \sqrt{D_0 \kappa_0} |\zeta_2 - \zeta_1|^3$. Коэффициент поверхностного натяжения γ , выраженный через составы твердого раствора (x, y) , имеет вид

$$\gamma = \frac{\sqrt{2}}{12} \sqrt{D_0 \kappa_0} |(x_2 - x_1) \cos \varphi + (y_2 - y_1) \sin \varphi|^3. \quad (26)$$

Здесь φ — угол поворота, переводящего оси (x, y) в главные оси (ξ, η) матрицы $\hat{\Lambda}$ из (8).

Подстановка $\Delta a/\bar{a}$ из (25) и γ из (26) в формулу (24) позволяет найти зависимость оптимального периода d_{opt} структуры с модулированным составом от составов твердого раствора двух фаз.

3. Когерентное разделение фаз в четверных твердых растворах полупроводников $A^{III}B^V$ при произвольных температурах и составах

Для построения диаграммы когерентного разделения фаз четверных твердых растворов $A_{1-x}B_xC_{1-y}D_y$ -типа при произвольных температурах и составах мы используем удельную химическую свободную энергию твердого раствора в приближении регулярных твердых растворов, предложенном Илегемсом, Панишом и Джорданом [19, 20]. В этой модели полагают, что атомы А, В, С, D распределены по узлам соответствующих подрешеток хаотически. Удельная химическая свободная энергия равна $f_{\text{хим}}(T, x, y) = -TS_{\text{смеш}}(x, y) + f_1(T, x, y)$. Первое слагаемое представляет собой вклад энтропии смешивания в $f_{\text{хим}}$:

$$\begin{aligned} -TS_{\text{смеш}} = T [& (1-x) \ln(1-x) + x \ln(x) + \\ & + (1-y) \ln(1-y) + y \ln(y)]. \end{aligned} \quad (27)$$

Вклад межатомного взаимодействия в $f_{\text{хим}}$ равен

$$\begin{aligned} f_1(T, x, y) = & (1-x)(1-y) \mu_{AC}^{(0)}(T) + (1-x) \mu_{AD}^{(0)}(T) + \\ & + x(1-y) \mu_{BC}^{(0)}(T) + x \mu_{BD}^{(0)}(T) + (1-x)y(1-y) \alpha_{AC-AD}(T) + \\ & + xy(1-y) \alpha_{BC-BD}(T) + (1-x)x(1-y) \alpha_{AC-BC}(T) + \end{aligned}$$

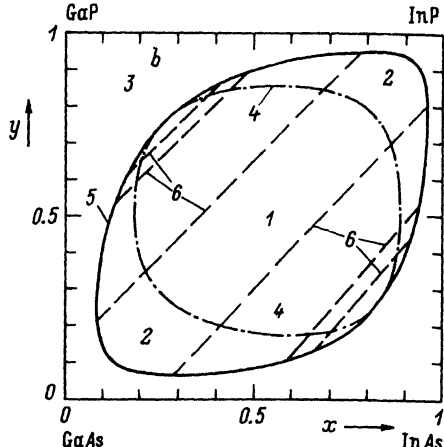
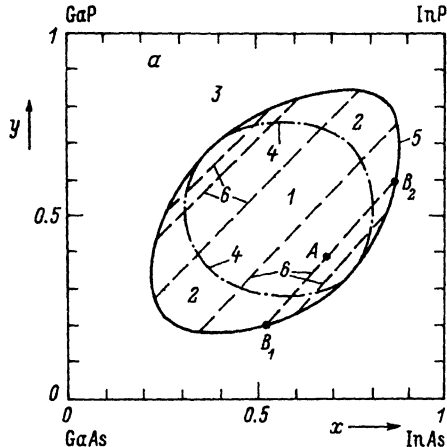


Рис. 2. Диаграмма когерентного разделения фаз для твердого раствора $\text{Ga}_{1-x}\text{In}_x\text{As}_{1-y}\text{P}_y$. 1 — область абсолютно неустойчивых твердых растворов; 2 — область метастабильных твердых растворов; 3 — область абсолютно устойчивых твердых растворов; 4 — спиновальная кривая; 5 — кривая растворимости; 6 — связывающие линии. а) $T = 1100$ К, б) $T = 900$ К.

$$+ (1-x) x \alpha_{\text{AD-BD}}(T). \quad (28)$$

Здесь $\mu_{\text{AC}}^{(0)}$ — химический потенциал чистого компонента AC, а $\alpha_{\text{AC-BC}}$ — параметр взаимодействия, связанный с положительной энтальпией образования ΔH тройного твердого раствора $\text{A}_{1-x}\text{B}_x\text{C}$: $\Delta H = H(\text{A}_{1-x}\text{B}_x\text{C}) - (1-x)H(\text{AC}) - xH(\text{BC}) = (1-x)x\alpha_{\text{AC-BC}} > 0$. Положительные величины α_{ij-kl} были найдены Илегемом, Панишом и Джорданом [19, 20] из диаграмм солидус-ликвидус для тройных соединений $\text{A}^{\text{III}}\text{B}^{\text{V}}$. Положительные величины энтальпии образования способствуют распаду четверных твердых растворов. Полная удельная свободная энергия $f(x, y)$ состоит из трех слагаемых

$$f(T, x, y) = f_1(T, x, y) - TS_{\text{смеш}}(x, y) + f_{\text{упр}}(x, y). \quad (29)$$

Таблица 1

Параметры бездислокационных сверхрешеток, спонтанно образующихся в результате распада твердого раствора $\text{Ga}_{1-x}\text{In}_x\text{As}_{1-y}\text{P}_y$ при различных температурах образования

T, К	Состав твердого раствора двух фаз		$L_{\perp} = 0.1$ мкм	$L_{\perp} = 1.0$ мкм
	$(x_1; y_1)$	$(x_2; y_2)$	$d_{\text{опт}}, \text{Å}$	$d_{\text{опт}}, \text{Å}$
1200	0.45; 0.29	0.78; 0.66	400	1260
1200	0.34; 0.37	0.69; 0.75	370	1165
1100	0.25; 0.50	0.55; 0.81	330	1040
1100	0.55; 0.21	0.86; 0.57	440	1385
1000	0.19; 0.54	0.49; 0.85	340	1070
1000	0.60; 0.16	0.90; 0.52	510	1605
900	0.16; 0.60	0.41; 0.87	340	1070
900	0.61; 0.11	0.94; 0.52	500	1575

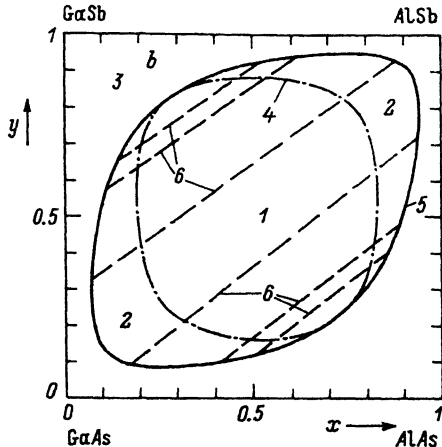
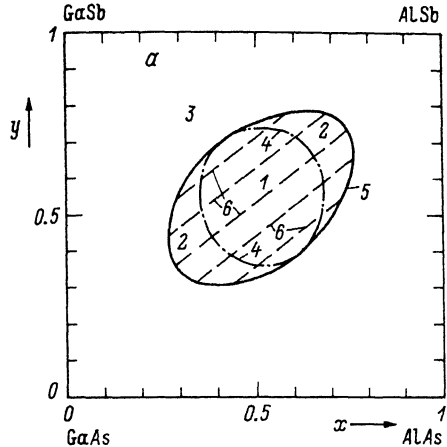


Рис. 3. Диаграмма когерентного разделения фаз для твердого раствора $\text{Ga}_{1-x}\text{Al}_x\text{As}_{1-y}\text{Sb}_y$. 1 — область абсолютно неустойчивых твердых растворов; 2 — область метастабильных твердых растворов; 3 — область абсолютно устойчивых твердых растворов; 4 — спиновальная кривая; 5 — кривая растворимости; 6 — связывающие линии. а) $T = 370$ К, б) $T = 300$ К.

Химическая энергия f_1 из (28) обеспечивает химическую движущую силу спиновального распада, в то время как $-TS_{\text{смеш}}$ из (27) и $f_{\text{упр}}$ из (7) препятствуют распаду и стабилизируют однородный твердый раствор. Результат конкуренции различных вкладов в свободную энергию зависит от конкретной модели для $f_1(T, x, y)$.

Численные расчеты были выполнены для двух четверных твердых растворов, GaInAsP и GaAlAsSb . Химическая свободная энергия $f_{\text{хим}}$ бралась из выражений (27), (28). Мы использовали упругую свободную энергию $f_{\text{упр}}$ из (7) [23, 24]. Величины экспериментальных параметров $\mu_{ij}^{(0)}(T)$ и α_{ij-II} бралась из работы Баранова и др. [27], в которой исследовались диаграммы ликвидус-солидус для тройных твердых растворов. Решение уравнения $\det \hat{\Lambda} = 0$ позволило найти критические температуры: $T_c = 1275$ К для GaInAsP и $T_c = 390$ К для GaAlAsSb . Стрингфелло показал [12], что без учета упругой свободной энергии соответ-

Таблица 2

Параметры бездислокационных сверхрешеток, спонтанно образующихся в результате распада твердого раствора $\text{Ga}_{1-x}\text{Al}_x\text{As}_{1-y}\text{Sb}_y$ при различных температурах образования

T, К	Состав твердого раствора двух фаз		$L_{\perp} = 0.1$ мкм	$L_{\perp} = 1.0$ мкм
	$(x_1; y_1)$	$(x_2; y_2)$	$d_{\text{опт}}, \text{Å}$	$d_{\text{опт}}, \text{Å}$
370	0.28; 0.38	0.73; 0.75	105	330
370	0.35; 0.31	0.76; 0.65	95	300
350	0.20; 0.48	0.68; 0.86	115	360
350	0.37; 0.21	0.82; 0.58	105	330
330	0.16; 0.54	0.63; 0.90	110	345
330	0.43; 0.16	0.84; 0.49	100	315
300	0.12; 0.61	0.57; 0.93	125	390
300	0.44; 0.10	0.88; 0.46	115	360

Влияющие на температурные зависимости равны 1445 К и 973 К. Диаграмма когерентного разделения фаз для GaInAsP при температуре $T = 1100$ К построена на рис. 2, а. Штрихпунктирная линия (линия 4) изображает спинодальную кривую, разделяющую область абсолютно неустойчивых твердых растворов (область 1) и область метастабильных твердых растворов (область 2). Сплошная линия (линия 5) — это кривая растворимости (называемая также бинодальной изотермой), разделяющая области метастабильных и устойчивых (область 3) твердых растворов. Пунктиром (линия 6) проведены так называемые связывающие линии, соединяющие точки, соответствующие составам двух результирующих равновесных фаз. Например, точка «А» на рис. 2, а соответствует однородному твердому раствору с составом (\bar{x}, \bar{y}) . Пунктирная связывающая линия, проходящая через точку «А», пересекает кривую растворимости в точках «В₁» и «В₂». Соответствующие составы (x_1, y_1) и (x_2, y_2) суть результирующие равновесные составы двухфазной системы.

Зависимость оптимального периода слоистой структуры d_{opt} от состава описывается формулой (24). Период d_{opt} , соответствующий центральным точкам различных связывающих линий ($\nu = 0.5$), рассчитан по формуле (24). Коэффициент поверхностного натяжения γ , входящий в (24), был вычислен с помощью модели доменной стенки, основанной на обобщении выражений (27), (28) на случай неоднородных твердых растворов. Из табл. 1 видно, что имеется большое разнообразие различных макроскопических периодов двухфазных систем. Периоды имеют величину 300—1500 Å, что соответствует по порядку величины периодам, наблюдавшимся в работах [5—10].

Диаграмма когерентного разделения фаз для твердого раствора GaInAsP выполнена в интервале температур 700—1200 К с шагом 50 К. Общая тенденция состоит в том, что область несмешиваемости расширяется с понижением температуры. Диаграмма, соответствующая температуре 900 К, приведена на рис. 2, б.

Диаграмма когерентного разделения фаз для четверного твердого раствора GaAlAsSb рассчитана для температурного интервала 300—390 К с шагом 20 К. Диаграммы для двух температур, $T = 370$ К и $T = 300$ К, построены на рис. 3, а и рис. 3, б соответственно. Периоды естественных напряженных слоистых сверхрешеток приведены в табл. 2.

4. Обсуждение результатов

В настоящей работе показано, что четверные твердые растворы $A_{1-x}B_xC_{1-y}D_y$ -типа полупроводников $A^{III}B^V$, имеющие положительную энтропию образования, становятся при некоторой температуре неустойчивыми относительно когерентного разделения фаз. В результате разделения фаз возникает система упругих концентрационных доменов с чередующимся составом твердого раствора. Домены ориентированы перпендикулярно направлению наилегчайшего сжатия, т. е. направлению [001] в соединениях $A^{III}B^V$.

Когерентное разделение фаз в четверных твердых растворах полупроводников $A^{III}B^V$ изучалось теоретически в работах Стрингфелло [15, 16], где для химической энергии твердого раствора использовалась DLP-модель. Коренное различие между DLP-моделью и моделью регулярных твердых растворов, предложенной Илегемсом, Панишом и Джорданом [19, 20] и используемой в настоящей работе, состоит в следующем. Химическая энергия f_1 в DLP-модели зависит от состава твердого раствора только за счет зависимости постоянной решетки «а» от x и y : $f_1(x, y) = f_1(a(x, y))$. Поскольку $a(x, y)$ является с хорошей точностью линейной функцией x и y [см. (25)], всегда можно выбрать линейные комбинации величин x и y , обозначаемые ниже \bar{x} , \bar{y} , таким образом, что постоянная решетки не меняется с изменением \bar{x} вдоль линий $\bar{y} = \text{const}$ и $a(\bar{x}, \bar{y}) = a(\bar{y})$. Поэтому упругая свободная энергия из (7) не меняется вдоль линий $\bar{y} = \text{const}$. Химическая

энергия f_1^{DLP} зависит только от величины постоянной решетки, и, следовательно, так же не меняется вдоль линий $\tilde{y} = \text{const}$. Вклад $f_{\text{упр}}$ в $\det \hat{\Lambda}$ из (8б), записанный в переменных \tilde{x}, \tilde{y} , в случае DLP-модели сводится к

$$\frac{\partial^2 (-TS_{\text{mix}})}{\partial \tilde{x}^2} \cdot \frac{\partial^2 f_{\text{elastic}}}{\partial \tilde{y}^2} \quad (30)$$

Этот положительный вклад препятствует спиноподобному распаду и приводит к уменьшению критической температуры T_c . В работах [15, 16] было показано, что стабилизирующее действие упругих напряжений дает $T_c = 0$ почти для всех четверных твердых растворов $A^{III}B^V$ и предотвращает их распад. Напротив, в модели регулярных твердых растворов химическая энергия $f_1(T, x, y)$ зависит от 8 независимых параметров $\mu_{ij}^{(0)}$ и α_{ij-ii} , определяемых из различных экспериментов, и не фиксируется величиной постоянной решетки $a(x, y)$. Следовательно, $f_1(T, x, y)$ меняется вдоль линий $\tilde{y} = \text{const}$, в то время как $f_{\text{упр}}$ не меняется вдоль этих же линий. Вклад $f_{\text{упр}}$ в $\det \hat{\Lambda}$ в модели регулярных твердых растворов равен

$$\left(\frac{\partial^2 (-TS_{\text{mix}})}{\partial \tilde{x}^2} + \frac{\partial^2 f_1}{\partial \tilde{x}^2} \right) \cdot \frac{\partial^2 f_{\text{elastic}}}{\partial \tilde{y}^2} \quad (31)$$

Когда $\partial^2 f_1 / \partial \tilde{x}^2 < 0$, химическая энергия f_1 ослабляет стабилизирующее действие $f_{\text{упр}}$ и способствует распаду. Величины T_c , рассчитанные в модели регулярных твердых растворов, выше, чем T_c , рассчитанные в DLP-модели, и спиноподобный распад имеет место для большинства четверных твердых растворов полупроводников $A^{III}B^V$ при разумных температурах 400—1200 К.

Следует отметить, что чисто когерентное сопряжение двух фаз конкурирует с процессами сопряжения, сопровождающимися появлением дислокаций несоответствия [28]. Какая из двух возможностей осуществится, зависит от кинетики. Однако кинетические аспекты явления в настоящей работе не рассматриваются.

Экспериментально наблюдаемый распад однородных твердых растворов происходит в процессе жидкофазной [5—9] и газофазной [10] эпитаксии при температурах 900—1000 К, когда скорость диффузии достаточно высока. Рассчитанные величины периодов равновесных структур могут быть полезны при изготовлении сверхрешеток, менее подверженных процессам деградации.

СПИСОК ЛИТЕРАТУРЫ

- [1] E. K. Muller, J. L. Richards. *J. Appl. Phys.*, **35**, 1233 (1964).
- [2] M. F. Grattan, J. C. Wooley. *J. Electron. Mater.*, **2**, 455 (1973).
- [3] K. Nakjima, K. Osamura, K. Yasuda, Y. Murakami. *J. Cryst. Growth.*, **41**, 87 (1977).
- [4] R. E. Nahory, M. A. Pollock, D. E. Beebe, J. C. de Winter, M. Hegems. *J. Electrochem. Soc.*, **125**, 1053 (1978).
- [5] P. Henoc, A. Izrael, M. Quillec, H. Launois. *Appl. Phys. Lett.*, **40**, 963 (1982).
- [6] F. Glas, M. M. J. Treacy, M. Quillec, H. Launois. *J. Physique*, **43**, C5—11 (1982).
- [7] S. Mahajan, B. V. Dutt, H. Temkin, R. J. Cava, W. A. Bonner. *J. Cryst. Growth.*, **68**, 589 (1984).
- [8] O. Ueda, S. Isozumi, S. Komiya. *Japan. J. Appl. Phys.*, **23**, L241 (1984).
- [9] A. G. Norman, G. R. Booker. *J. Appl. Phys.*, **57**, 4715 (1985).
- [10] N. G. Chu, S. Nakahara, K. E. Strege, W. D. Johnston, Jr. *J. Appl. Phys.*, **57**, 4610 (1985).
- [11] B. de Cremoux. *J. Physique*, **43**, C5—19 (1982).
- [12] G. B. Stringfellow. *J. Cryst. Growth.*, **58**, 194 (1982).
- [13] K. Onabe. *Japan. J. Appl. Phys.*, **21**, L323 (1982).
- [14] J. W. Cahn. *Trans. Met. Soc.*, **242**, 166 (1967).
- [15] G. B. Stringfellow. *J. Electron. Mater.*, **11**, 903 (1982).
- [16] G. B. Stringfellow. *J. Cryst. Growth.*, **65**, 454 (1983).
- [17] I. P. Ipatova. In: *Proc. XX Int. Conf. Phys. Semicond. Thessaloniki* (ed. by E. M. Anastassakis, J. D. Joanopoulos), **2**, 913 (1990).

- [18] I. P. Ipatova, V. A. Shchukin, V. G. Malyshkin, A. Yu. Maslov, E. Anastassakis. *Sol. St. Commun.*, **78**, 19 (1991).
- [19] M. Hegems, M. B. Panish. *J. Phys. Chem. Sol.*, **35**, 409 (1974).
- [20] A. S. Jordan, M. Hegems. *J. Phys. Chem. Sol.*, **36**, 329 (1975).
- [21] G. B. Stringfellow. *J. Phys. Chem. Sol.*, **34**, 1249 (1973).
- [22] G. B. Stringfellow. *J. Cryst. Growth.*, **27**, 21 (1974).
- [23] А. Г. Хачатурян. Теория фазовых превращений и структура твердых растворов, 384. М. (1974); A. G. Khachaturyan. *Theory of structural transformations in solids*, John Wiley and Sons, 574. N. Y. (1983).
- [24] J. W. Sahn. *Acta Met.*, **10**, 179 (1962).
- [25] A. G. Khachaturyan. *Phys. St. Sol.*, **35**, 119 (1969).
- [26] А. Г. Хачатурян, Р. А. Сурис. *Кристаллография*, **13**, 83 (1968).
- [27] А. Н. Баранов, Б. Е. Джуртанов, А. М. Литвак, С. В. Сяврис, Н. А. Чарыков. *Журн. неорганической химии*, **35**, 1020 (1990).
- [28] J. H. Van der Merve, W. A. Jesser. *J. Appl. Phys.*, **63**, 1509 (1988).

Редактор Ю. Б. Лянда-Геллер
